

---

## Team 12

---

Frédéric Blondeel  
 Martijn Debeuf  
 Toon Sauvillers  
 Dirk Vanbeveren  
 Bert Van den Bosch  
 Seppe Van Steenberghe

---

## Inhoudsopgave

<b>1</b>	<b>Framework</b>	<b>3</b>
1.1	Masters en clients . . . . .	3
1.2	Communicatie protocollen . . . . .	3
1.2.1	Commando's . . . . .	3
1.2.2	Video verzenden . . . . .	3
1.3	Beveiliging . . . . .	3
1.4	Uitbreidingsmogelijkheden . . . . .	4
<b>2</b>	<b>Synchronisatie</b>	<b>5</b>
2.1	Vertraging berekenen . . . . .	5
2.2	Kloksynchronisatie . . . . .	5
2.3	Aftelklok . . . . .	6
<b>3</b>	<b>Detectie</b>	<b>6</b>
3.1	Kleuren . . . . .	6
3.1.1	Kleurmodellen en ruimtes . . . . .	6
3.1.2	Ranges in de HSL kleurruimte . . . . .	7
3.1.3	Verdere verbeteringen . . . . .	7
3.2	Flood fill . . . . .	8
3.3	Hoekpunten . . . . .	9
<b>4</b>	<b>Reconstructie</b>	<b>10</b>
4.1	Hulppunten op diagonalen . . . . .	10
4.2	Reconstrueren van een hoekpunt . . . . .	11
<b>5</b>	<b>Identificatie</b>	<b>12</b>
5.1	Barcode . . . . .	12
5.2	Verdere verbeteringen . . . . .	13
<b>6</b>	<b>Transformatie voor image-show</b>	<b>13</b>
6.1	transformatiematrix . . . . .	13

<b>7</b>	<b>Triangulatie</b>	<b>14</b>
7.1	Bowyer-Watson . . . . .	14
7.2	Valkuilen . . . . .	16
<b>8</b>	<b>Animation</b>	<b>16</b>
8.1	Sprites . . . . .	16
8.2	Delaunay . . . . .	16

# 1 Framework

In dit project wordt gebruik gemaakt van het *VueJS framework* voor de frontend. Hierdoor is het eenvoudiger om de code in verschillende bestanden te verdelen. Ook is het handig om hiermee de user interface te ontwerpen en implementeren.

## 1.1 Masters en clients

Bij het openen van de webpagina is er een knop om zich eerst aan te melden bij het platform. Dit zorgt ervoor dat later een login systeem met wachtwoord gemakkelijk kan worden toegevoegd indien dit gewenst is. Hierna heeft men de keuze om master of client te worden, deze informatie wordt in het geheugen van de server opgeslaan.

**Kamers** Elke master heeft zijn eigen kamer waarbij clients zich kunnen aansluiten. Dit maakt het mogelijk de applicatie simultaan te gebruiken met meerdere masters. Telkens wanneer een commando wordt verstuurd krijgen enkel de clients in die specifieke kamer dat signaal.

## 1.2 Communicatie protocollen

Om de communicatie tussen master en clients gestructureerd te laten verlopen, worden verschillende manieren gebruikt. Hieronder worden de verschillende gebruikte protocollen om data te verzenden uitgelegd.

### 1.2.1 Commando's

Elke client kan op de canvas van zijn scherm pijlen tekenen, de achtergrond van kleur laten veranderen of een afbeelding weergeven. De commando's om de schermen te controleren via de master worden allemaal doorgestuurd via *SocketIO*. Deze techniek is gekozen over het *http-protocol* omdat de hoeveelheid te verzenden data niet zo groot is en SocketIO ook op constante basis de client, master en server aangesloten houdt. Hierdoor worden alle berichten onmiddellijk ontvangen. Een voorbeeld van wat er wordt verstuurd word weergegeven in figuur 1. Enkel het 'payload' gedeelte wordt verstuurd naar de clients vanaf de server.

### 1.2.2 Video verzenden

De video's worden niet direct verstuurd naar elke client om af te spelen. Dit zou een lange wachttijd vereisen vooraleer het video bestand helemaal verzonden is en ontvangen door elke client. Het uploaden van video is zo geïmplementeerd dat deze eerst naar de server wordt verstuurd via een HTTPS POST request (door middel van een HTML Form) en opgeslagen als een bestand op de server. Vervolgens wordt naar elke client de link doorgestuurd vanwaar ze de video kunnen streamen via een HTML Video element. De video wordt dan gebufferd en kan onmiddellijk worden afgespeeld zonder dat het hele bestand al gedownload is.

## 1.3 Beveiliging

**HTTPS** Staat voor Hypertext Transfer Protocol Secure. Door dit protocol zijn alle berichten geëncrypteerd waardoor het voor buitenstaanders niet zomaar mogelijk is verzonden berichten te lezen .

```

1   {s
2   payload:{
3   type: "flood-screen",
4   data: {
5   command: [{
6   type: "color"/"interval",
7   value: "[255,0,0]" / "200" }] (integer or rgb list)
8   }
9   }
10  to: [user_id or "all"] (to single user or all users in
    room)
11  }

```

Figuur 1: Voorbeeld van een JSON commando om schermen van kleur te laten veranderen, verzonden naar de server

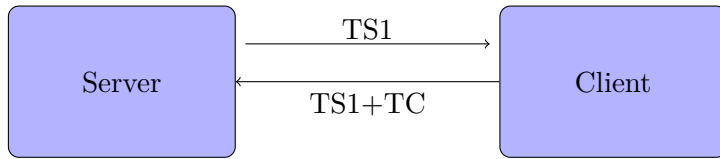
**Login security** Naast HTTPS is het ook belangrijk dat een aangesloten gebruiker zich niet zomaar kan voordoen als een andere gebruiker. Of eender wie zomaar aan alle informatie kan. Om deze redenen hebben alle ingelogde gebruikers een geëncrypteerde *cookie* die hun gebruikers\_id bevat. Dit maakt het mogelijk om elke verschillende gebruiker te identificeren in de backend-server door deze te decrypteren. Hierdoor is het mogelijk om bepaalde server endpoints, met bijvoorbeeld video of foto bestanden, enkel aan ingelogde gebruikers bloot te stellen en niet aan andere gebruikers die geen inlog cookie hebben. Vervolgens is veiligheid ook een probleem bij sockets. Als sockets hun aansluiting verliezen worden ze automatisch opnieuw aangesloten. Hierbij veranderd enkel hun id. Om te kunnen zien tot welke client een socket toebehoort, moet elke gebruiker zijn gebruikers\_id verzenden via de socket om deze aan zijn gebruikers\_id te kunnen linken. Deze informatie wordt allemaal in de server opgeslaan.

## 1.4 Uitbreidingsmogelijkheden

**Login systeem** Momenteel is er een anoniem login systeem ingebouwd waar er geen wachtwoord voor vereist is. Doordat dit nu al ingewerkt zit, kan dit later makkelijk omgevormd worden naar een login met inloggegevens.

**Foto upload met https** Nu worden de foto's doorgestuurd via sockets. Later is het de bedoeling om net zoals bij video de afbeeldingen ook door te sturen via https. Zodat de master slechts één keer de foto moet uploaden en de clients dan zelf de foto aanvragen.

**SocketIO beveiliging** Om nu de socket te identificeren moet elke gebruiker zijn gebruikers\_id versturen. Dit kan voor problemen zorgen als een mogelijke hacker een andere gebruikers\_id verzend via de socket om zich als iemand anders voor te doen. Om dit te voorkomen kan een tijdelijk inlog wachtwoord aangemaakt worden dat de gebruiker kan verzenden om zich te identificeren via de socket.



Figuur 2: Diagram van informatieoverdracht. (TS: Time Server, TC: Time Client)

```

1  {
2    type: 'count-down',
3    data: {
4      start: [integer]
5      interval: [integer, in ms],
6      startTime: [date in ms]
7    }
8  }

```

Figuur 3: countdown JSON commando verzonden naar clients

## 2 Synchronisatie

Bij een live applicatie is het belangrijk dat de aangesloten apparaten de mogelijkheid hebben synchroon een beeld weer te geven. Dit is niet altijd vanzelfsprekend dankzij verschillende factoren, zoals vertraging op en snelheid van een apparaat. Hiervoor zijn er verschillende technieken om toch synchronisatie te bekomen.

### 2.1 Vertraging berekenen

Er is een vertraging tussen een aangesloten client en de server, de *ping*. Dit is gemeten in miliseconden. Deze wordt gemeten door een bericht met de actuele tijd te verzenden van de server naar de client, en terug. De verzonden tijd wordt afgetrokken van de actuele tijd waarmee we de ping verkrijgen. In figuur 2 is de informatieoverdracht zichtbaar. In de server wordt de server tijd (TS1) berekend, verzonden naar de client en terug gekregen. Nu wordt de actuele tijd berekend in de server TS2. Dus de uiteindelijke ping is:

$$ping = TS2 - TS1$$

### 2.2 Kloksynchronisatie

Het is niet gegarandeerd dat de klok van de clients allemaal gesynchroniseerd zijn met de server. Daarom is het ook nodig om te weten wat het verschil is tussen de tijd aan de kant van de client en de server. Bij het terug verzenden van de client naar de server wordt de client tijd (TC) er bij het bericht gezet. Met deze TC en de berekende *ping*, is het mogelijk het tijdsverschil tussen de client en de server te bepalen (*DeltaTime*). Door dit verschil toe te voegen aan de servertijd is het mogelijk de correcte clienttijd te vinden. Dit wordt gebruikt om een starttijd te bepalen voor elke client dat op exact hetzelfde moment zal beginnen:

$$DeltaTime = (TC + ping/2) - TS2$$

Zo is de tijd van de client ten opzichte van de server altijd:

$$TimeClient = TimeServer + DeltaTime$$

## 2.3 Aftelklok

Bij de naïve implementatie van de aftelklok is er gebruikt gemaakt van de *setTimer()* functie die recursief een getal aftelt en tekent op een canvas. Een probleem hierbij is dat apparaten niet even snel het getal kunnen tekenen op het scherm waardoor er apparaten kunnen zijn die sneller zijn dan anderen. Daarom is er gebruik gemaakt van *setInterval()* dat periodisch het getal berekend, relatief ten opzichte van de meegegeven starttijd. Als er een client trager is en niet optijd op het scherm kan tekenen, dan zal het getal worden overgeslagen omdat het apparaat het sowieso niet zou aankunnen. Hierdoor blijven de getallen op het scherm synchroon en zal het aftellen ook op het zelfde moment stoppen op elk scherm. Het getal is als volgt berekend:

$$number = startNum - Math.floor((actualTime - startTime)/interval)$$

## 3 Detectie

### 3.1 Kleuren

Het onderscheiden en detecteren van verschillende kleuren speelt een belangrijke rol in detectie van de schermen. De waarneming van een kleur aan de hand van een foto stemt echter niet altijd overeen met de afgebeelde kleur op een scherm. De voornaamste oorzaken hiervan zijn lichtinval en reflectie. Tijdens detectie moet er dus rekening gehouden worden met deze factoren. De keuze van de kleurruimte zal hierbij essentieel zijn om een goede range op te stellen voor detectie van de verschillende kleuren.

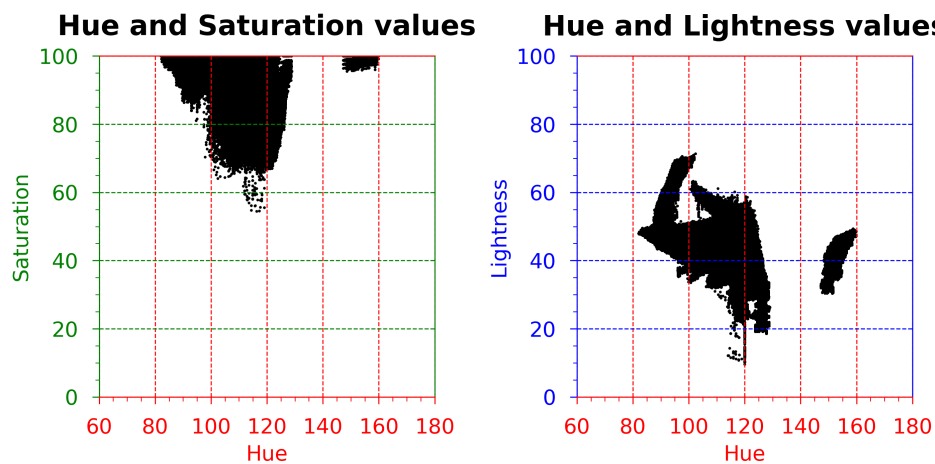
#### 3.1.1 Kleurmodellen en ruimtes

Door de jaren heen zijn veel verschillende modellen ontwikkeld om het visuele lichtspectrum weer te geven. Al deze modellen hebben hun voordelen en nadelen en worden dan ook voor verschillende doeleinden gebruikt. De meest voorkomende modellen zijn RGB, CIE en HSL/HSV. Het RGB model is een additief kleurmodel waarbij een kleur wordt beschreven aan de hand van de drie primaire kleuren: rood, groen en blauw. Elke kleur wordt gevormd aan de hand van een combinatie van deze drie kleuren. RGB wordt heel veel gebruikt in grafische toepassingen. Wanneer een foto door een computer wordt uitgelezen zal dit ook in RGB waarden gebeuren. Alleen zal dit model jammer genoeg niet gebruikt kunnen worden voor detectie aangezien het model een niet-lineaire en discontinue ruimte vormt. Deze discontinuïteit maakt het beschrijven van een verandering in tint moeilijk. Daarnaast is het RGB model gevoelig aan verandering van licht, wat resulteert in een verandering van tint. Het CIE model is gemaakt door de Commission Internationale de l'Éclairage (CIE). Het was het eerste model dat kleuren wiskundig kan voorstellen. Hierbij wordt gebruik gemaakt van de link tussen de verschillende golflengtes van het visueel spectrum en de manier waarop mensen kleuren waarnemen. Het CIE model lag ook aan de basis van bijna alle andere kleurmodellen die achteraf ontwikkeld zijn. Het grootste nadeel van het gebruik van dit model is de complexe omzetting van RGB naar CIE. Om deze reden wordt dit model niet gebruikt voor de detectie. Hsl en HSV maken allebei deel uit van het cilindrisch model. Deze worden beschreven in drie dimensies: een hoek, die de tint voorstelt gaande van 0°(rood), naar 120°(groen), richting 240°(blauw), om uiteindelijk

bij  $360^\circ$  (rood) rond te zijn. Een horizontale dimensie, die de saturatie beschrijft en een verticale dimensie, die de lichtheid (HSL) of waarde (HSV) bepaald. Het voornaamste voordeel en de reden voor het gebruik van deze modellen over RGB en CIE is het feit dat deze modellen immuun zijn aan veranderingen in licht. Want deze zitten in een aparte dimensie. Een ander voordeel is de continue tint in de HSV en HSL modellen. HSL wordt uiteindelijk boven HSV verkozen door zijn symmetrie voor licht en donker. [1] [2]

### 3.1.2 Ranges in de HSL kleurruimte

Naast de keuze van het kleurmodel, HSL, moeten ook de kleuren voor detectie bepaald worden. Uiteindelijk heeft onze gebruikte methode zes verschillende kleuren nodig om te detecteren. De keuze is gegaan naar de drie basiskleuren (rood, groen en blauw) aangevuld met de kleuren, die theoretisch het verst van elkaar verwijderd liggen op de cirkel (cyaan, magenta en geel). Bijgevolg liggen de gekozen kleuren allemaal op  $60^\circ$  van elkaar verwijderd. Vervolgens werd voor elke kleur een range bepaald onder verschillende omstandigheden. Hiervoor zijn foto's genomen van verschillende schermen in verschillende lichtomstandigheden en reflecties met verschillende camera's. Deze foto's dienen als dataset om de range van elke kleur te bepalen. Elke pixel van een foto werd uitgelezen en nadien omgezet van een RGB waarde naar een HSL waarde. Deze HSL waarden zijn vervolgens geplot in functie van tint en saturatie, alsook in functie van tint en lichtheid, zie figuur 4. De bekomen scatterplots toonden telkens een geconcentreerd gebied van datapunten aan dat aan de hand van lineaire functies begrensd werd. Deze lineaire functies worden dan gebruikt als range om de kleur te detecteren. Dit werd voor alle zes kleuren uitgevoerd. [3]



Figuur 4: Scatter plots in functie van tint en saturatie, alsook in functie van tint en lichtheid voor de kleur groen.

### 3.1.3 Verdere verbeteringen

Uit de plots is echter gebleken dat aparte onderscheiding van zes verschillende kleuren geen goede optie is door overlap van de ranges van de verschillende kleuren. Dit is het gevolg van zeer verschillende waarnemingen van een kleur naargelang de omstandigheden waarin een foto getrokken wordt. Het is dus niet mogelijk om zes verschillende kleuren correct te onderscheiden in alle omstandigheden. Nieuwe methodes moeten gevonden worden waar niet zoveel verschillende kleuren van elkaar onderscheiden moeten worden. Een eerste mogelijkheid is om een detectie uitgaande van slechts drie kleuren te verkiezen boven een

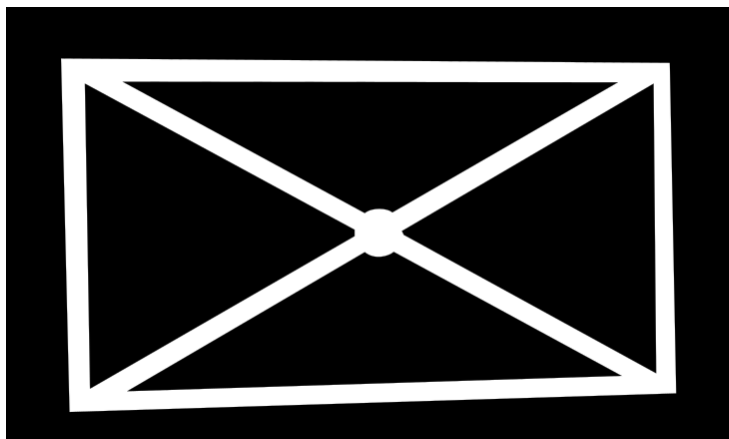
detectie met zes kleuren. Bij het gebruik van een drie-kleuren-detectie zijn twee opties, waarbij de kleuren opnieuw zo ver mogelijk van elkaar verwijderd liggen ( $120^\circ$ ), mogelijk. Eenderzijds het gebruik van de kleuren rood, groen en blauw of anderzijds de kleuren cyaan, magenta en geel. De uiteindelijke keuze valt op rood, groen en blauw aangezien deze minder ver fluctueren van de theoretische waarde dan cyaan, magenta en geel. Aan deze optie wordt reeds gewerkt om de detectie te verbeteren. Daarnaast is het ook een optie om eerder relatief naar het contrast tussen kleuren te kijken in plaats van detectie op basis van absolute ranges. Ook deze optie wordt reeds bekeken om de identificatie te verbeteren.

### 3.2 Flood fill

Elk individueel slave scherm laat een vooraf bepaalde afbeelding zien met gekende kleurwaarden (\*afbeelding van html). Deze afbeelding voor detectie is een combinatie van vorige iteraties van het project. Het combineren van een border met een kruis geeft het meeste informatie over de associatie van de kleur-gefilterde pixels bij overlap of afgedekte delen van het scherm en bovendien meer informatie over de oriëntatie van het scherm op de foto. Om deze schermen te detecteren wordt de foto gefilterd op basis van gekende HSL ranges (zie 3.1.2) en een standaard four-way flood fill algoritme [4 way afbeelding of te veel?] [4] om de associatie van de verbonden pixels te behouden. Na de executie van de flood fill is er voor elk gedetecteerd eiland een pixel masker met een unieke ID per eiland, opgeslagen in elke pixel, waar de verdere bewerkingen op uitgevoerd zullen worden. Het geïmplementeerde floodfill algoritme groeit volgens de vier pixel-buren en een stack-based iteratie process om recursie-overflow tegen te gaan bij grote afbeeldingen en eilanden. In een worst-case scenario zal dit algoritme een eiland detecteren over de volledige afbeelding. Aangezien elke pixel maximaal vier keer in de stack terecht kan komen, door zijn vier burens, loopt deze flood fill volgens een tijdscomplexiteit van

$$O(4mn) = O(mn)$$

met m en n de dimensies van de afbeelding. De grootte van elk eiland zal in de praktijk over het algemeen een stuk kleiner zijn dan de volledige afbeelding.



Figuur 5: Kleurenmasker van een scherm na floodfill

Niet enkel de associatie van de gemaskeerde pixels wordt op deze manier behouden, maar deze methode maakt ook dat de komende bewerkingen maar over een minimale bounding box uitgevoerd worden ten opzichten van de volledige pixel matrix. Elk resulterend resultaat van floodfill geeft een verbonden pixel verzameling, een island, als resultaat. De



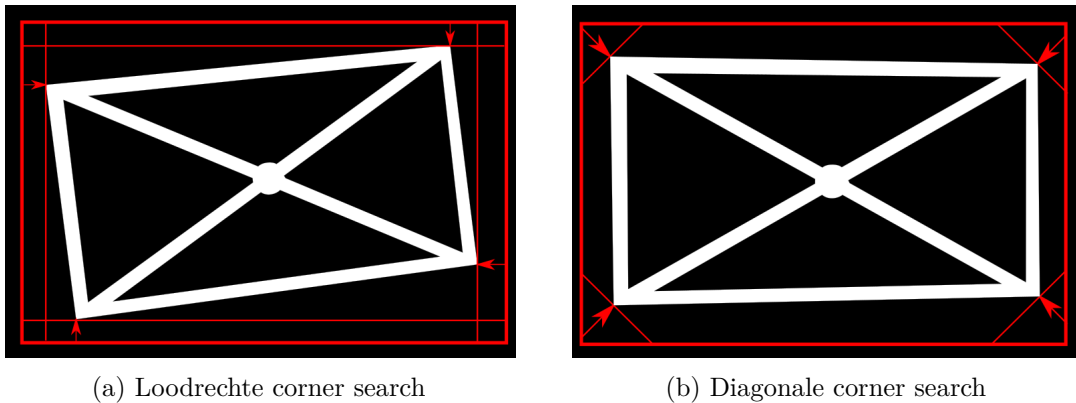
resulterende islands worden achteraf gefilterd opdat elk eiland de drie kleuren van de border en het middelpunt bevatten. Als er aan deze voorwaarde is voldaan is wordt er een poging gedaan om lokaal een middelpunt en geldige barcode te lezen 5.1. Bij het falen van een van deze verificatiestappen wordt het eiland verworpen, de overblijvende eilanden zijn geldige eilanden voor hoekdetectie.

### 3.3 Hoekpunten

Er werd vooraf een algemene hoek-detectie algoritme shi-tomashi geïmplementeerd en getest, maar gaf een te complex resultaat op de binaire maskers om de juiste hoeken te filteren. Dit algoritme draagt ook een relatief grote overhead door de x- en y-sobel operaties die elks een volledige pixel convolution over alle pixels in een eerste stap toepassen. Onze algoritmes zijn veel simpelistischer en zullen in de praktijk nooit verder dan de boundary van een eiland uitgevoerd worden in tegenstelling tot de volledige island matrix, maar geven een perfect bruikbaar resultaat voor onze noden.

In de eerste stap wordt er bepaald of het scherm voornamelijk recht of gekanteld is ten opzichte van de foto. Hiervoor wordt langs de linker kant van het kader de standaarddeviatie van pixels in het masker berekend. Bij een standaardafwijking onder de 15% wordt een scherm als liggend of verticaal gezien op de foto en niet gekanteld.

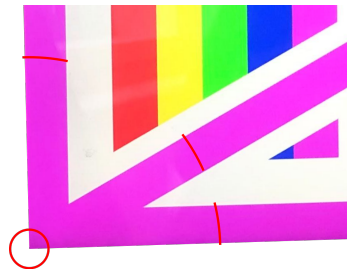
Als in eerste instantie het scherm als gedraaid beschouwd wordt, zal er vanuit elke rand van de bounding box van het eiland het de eerste mask-pixel als corner beschouwd worden. In het gev al dat het scherm relatief horizontaal of verticaal recht staat, zal er loodrecht op de randen gezocht worden (zie figuur: 6a), maar volgens een diagonaal tot een mask-pixel (zie figuur: 6b).



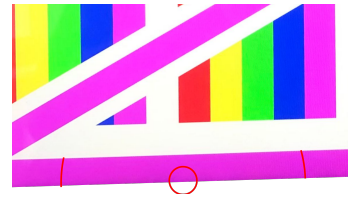
Figuur 6: Hoekdetectie

Beide variaties van hoek-detectie zal altijd vier hoeken als resultaat opleveren. Dit zullen door overlap en foutjes in het maskeren niet altijd correcte hoeken zijn. Na het bepalen, worden de hoeken nagekeken of deze resultaten wel degelijk kwalificeren als hoek. Deze kwalificatie is gebaseerd op bepaalde eigenschappen die in de buurt van elke hoek moeten gevonden worden, namelijk twee lijnen die tot de boord behoren en een diagonaallijn die naar het middelpunt van het scherm loopt 7a. Deze lijnen zijn bepaald door te filteren door de border- en diagonaal-kleur die gescheiden zijn door een witte rand (\*beter verwijzen naar waar calccircle wordt uitgelegd in reconstructie?). Als in een eerder gevonden hoek deze voorwaarden niet aanwezig zijn, wordt deze hoek verworpen 7b.

(linken/binden naar reconstruction) Als er geen vier correcte hoeken gevonden wor-



(a) Een correcte hoek



(b) Hoek zonder volledige features

Figuur 7: Hoekfiltering

den, zullen missende hoeken gereconstrueerd worden uit de wel gevonden hoeken en het middelpunt.

## 4 Reconstructie

Na het filteren van de hoeken kan het dus voorkomen dat er geen vier meer overblijven. Volgende kunnen hiervoor de oorzaak zijn. Enerzijds is het mogelijk dat bepaalde delen van schermen elkaar overlappen in de opstelling, anderzijds kunnen één of meerdere hoeken niet of slecht detecteerbaar zijn door een obstakel. Er wordt opgelegd dat minstens twee aanliggende hoekpunten en het middelpunt zichtbaar zijn. Indien men zich aan deze vooropgestelde eis houdt kan met volgend algoritme het scherm steeds volledig gereconstrueerd worden. Na een opsomming van de stappen volgt een meer gedetailleerde uitleg.

**Algoritme** De input die wordt meegegeven is een dictionary van de reeds gevonden hoekpunten. De sleutels zijn LU,RU,RD en LD m.a.w. posities van hoeken en als bijhorende waarden coördinaten voor deze die reeds gevonden zijn en een *null* als plaatshouder voor de nog te reconstrueren hoeken.

Eerst worden de vier punten bepaald die zich rond het middelpunt op de diagonalen bevinden. Deze worden ook in een dictionary opgeslaan met dezelfde structuur als de input. Daarna wordt hoek per hoek gekeken welke nog ontbreken. Indien reconstructie nodig is, wordt het overeenkomende punt van de diagonalen genomen. Samen met het middelpunt wordt hieruit een eerste reconstructielijn opgesteld. Daarna wordt vanuit een aanliggend hoekpunt het laatste hulppunt bepaald waardoor de tweede rechte wordt getrokken. De gezochte hoek is dan het snijpunt van de twee constructielijnen. Deze stappen herhalen voor andere ontbrekende hoeken resulteert in een dictionary met alle hoekenpunten van het scherm. Hieronder volgt een uitgebreidere uitleg van gebruikte methodes met veronderstellingen, voordelen en nadelen.

### 4.1 Hulppunten op diagonalen

Telkens wanneer reconstructie nodig is zullen de punten op diagonalen rond het middelpunt bepaald en geordend opgeslaan worden in een dictionary. Hiervoor worden alle pixels overlopen die op de cirkel met een bepaalde radius rond het middelpunt liggen overlopen. De straal van deze cirkel wordt gedefiniëerd als een vierde van de grootste afstand tussen de reeds gevonden hoeken en het middelpunt. Op deze manier wordt rekening gehouden met de grootte van het scherm. 25 procent van deze afstand nemen zorgt ervoor dat de pixels niet tot het middelpunt behoren en er zich tegelijkertijd niet te ver van bevinden.

**Startpunt** Het startpunt van waaruit de cirkel doorlopen wordt, is een pixel die niet tot een diagonaal behoort. Waarom dit belangrijk is zal later duidelijk worden. Bepalen of een punt deel uitmaakt van een diagonaal gebeurt aan de hand van een functie die controleert of er zich tussen de desbetreffende pixel en een tweede meegegeven punt (in dit geval het middelpunt) een wit deel pixels bevindt. Indien er tussen de twee meegegeven punten een stuk wit voorkomt, betekend dit dat de pixel afkomstig is van een deel barcode ?? (\*verwijzing foto van screendetectie html). Doordat de kleuren van de boord en diagonalen ook in de barcode voorkomen, sluit deze functie dus eigenlijk uit dat stukjes barcode toegevoegd worden aan de lijst. Het interval waarmee de hoek van nul tot twee keer pi loopt is één procent, hiermee worden net genoeg pixels overlopen. Naar later toe zou deze waarde ook relatief kunnen gezet worden naar de grootte van het scherm. Voor elke aaneenschakeling van pixels die geen wit kruisen op hun pad naar het middelpunt wordt een lijst aangemaakt tijdens het doorlopen van de cirkel. Uiteindelijk heeft men dan vier sublijsten van pixels in een lijst die elk een diagonaal voorstellen. Uit elke lijst wordt dan het middelste element genomen die het midden van dat cirkelsegment is. Hier komt al een eerste voordeel van het bepaalde startpunt naar voor. Indien dit niet gedaan zou worden kon het voorkomen dat een cirkel binnen een diagonaal startte. Dit zou resulteren in meer dan vier lijsten die aangemaakt worden wat het bepalen van de middens aanzienlijk complexer zou maken.

**Ordenen** Zoals eerder vermeld worden deze vier punten dan vanuit een lijst geordend in een dictionary geplaatst. Als referentie wordt gestart vanuit de HTML voor de scherm-detectie. Daarin zijn de twee bovenste hoeken geel en de onderste roze. Door de manier waarop de punten bepaald werden (het doorlopen van een cirkel) zitten de gele en roze pixels alreeds bij elkaar. Dus moet enkel nog gecontroleerd worden of de twee gele punten de eerste twee elementen in de rij zijn. Is dit niet het geval wordt de lijst geroteerd totdat aan de voorwaarde is voldaan. Elk element wordt dan in die volgorde toegevoegd aan de dictionary waardoor de punten telkens dezelfde ordening zullen hebben.

## 4.2 Reconstrueren van een hoekpunt

Indien een hoekpunt moet gereconstrueerd worden m.a.w. de waarde van de desbetreffende sleutel in de dictionary van hoekpunten is *null*, wordt in de daarnet aangemaakte dictionary het bijhorende punt op de diagonaal geselecteerd. Als bijvoorbeeld de bijhorende waarde van LU *null* is, wordt in de dictionary van punten op de diagonalen ook de waarde van LU geselecteerd. Vanuit dit punt en het middelpunt kan de vergelijking voor een rechte opgesteld worden die de eerste constructielijn zal vormen. Een aanliggend hoekpunt met gekende coördinaat, hulphoek genaamd, zal door de voorwaarde van minstens twee aanliggende detecteerbare hoeken steeds gevonden worden. Vanuit deze worden weer de cirkelsegmenten van boorden en diagonaal bepaald, dit met de radius die berekend werd in 4.1. Met als grote verschil dat nu niet de middens moeten bepaald worden maar de twee uiterste punten. Dit zullen dan de pixels zijn die op de rand van het scherm liggen. Hiervoor wordt van elk cirkelsegment het eerste en laatste element opgeslaan. Dit is meteen ook het tweede pluspunt van het startpunt, het zorgt ervoor dat de eerste en laatste pixel van de lijsten altijd de buitenste punten van een boord of diagonaal zijn. Dit stelt het mogelijk de lijst waarover geïtereerd moet worden te reduceren tot 6 pixels (2 punten per segment, 2 boorden en 1 diagonaal). De twee pixels die het verst van elkaar gelegen zijn zoeken in deze lijst is veel efficiënter dan alle punten van de segmenten te moeten overlopen. Door de offset en andere opgestapelde afrondingen kan het mogelijk zijn dat kan het zijn dat op de rechte vanuit elke van deze punten naar de hulphoek pixels gekruist worden die

niet dezelfde id hebben als dat punt van waaruit de rechte werd opgesteld. Indien dat het geval is wordt de dichtsbijzijnde pixel genomen op dat cirkelsegment waarvoor dit wel mogelijk is. Afhankelijk van de onderlinge ligging tussen het te reconstrueren hoekpunt en de hulphoek moet beslist worden welke van de twee berekende punten verder nodig zal zijn voor de reconstructie. Dit kan als volgt achterhaald worden. Ter referentie wordt eerst de rechte tussen hulp- en overstaande hoek van de te reconstrueren hoek bepaald. Dan wordt voor de twee te reduceren punten de rechte opgesteld met de hulphoek. Degene die de grootste hoek vormt samen met de referentie rechte, bevat het te behouden punt en deze vormt dan ook de tweede constructielijn. De nieuwe hoek wordt dan bekomen door het snijpunt van de twee constructielijnen te bepalen ?? (\*ref naar wikipedia intersectie class line). Om de id van de nieuw bepaalde hoek te bepalen, kan gekeken worden naar de tegenovergestelde hoek die reeds gekend zal zijn. Is die roze dan is de nieuwe hoek geel en vice versa.

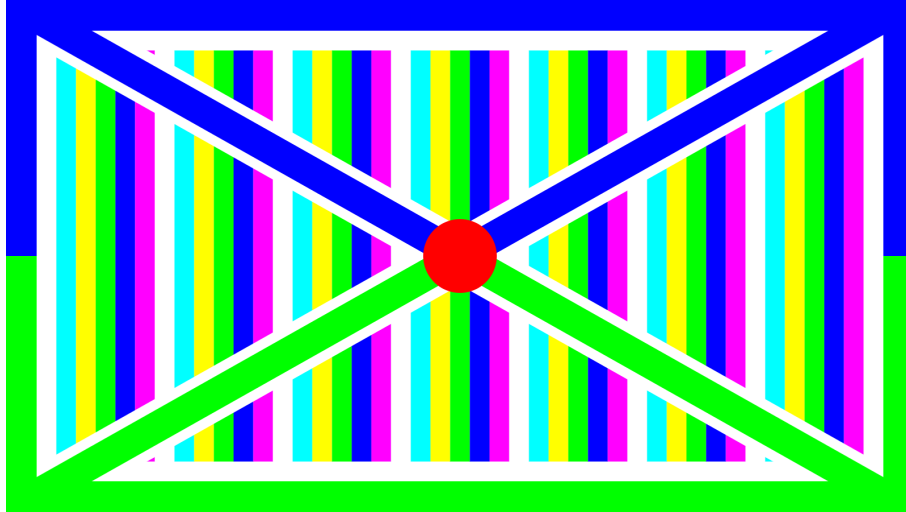
## 5 Identificatie

### 5.1 Barcode

Om de verschillende schermen te identificeren wordt gebruik gemaakt van een kleuren barcode. De barcode bestaat uit een herhalend patroon van 5 unieke kleuren telkens gevolgd door een witte lijn. Door het gebruik van deze witte lijn weet het algoritme waar het patroon eindigt en de volgende sequentie terug opnieuw begint. Het detecteren van deze 5 kleuren gebeurt aan de hand van opgestelde HSL ranges, zie 3.1.2. Voor de identificatie van de slaves wordt dus een unieke combinatie van deze 5 kleuren weergegeven, zie figuur 8. Deze vormt dan een unieke vijfcijferige code, die gelinkt kan worden aan de bijhorende slave. Dit zorgt ervoor dat we in theorie een totaal van  $5! (= 120)$  verschillende schermen op één moment kunnen detecteren. Herhaling van het patroon heeft als resultaat dat bij overlap het scherm nog steeds geïdentificeerd kan worden. Het algoritme zal twee keer over alle pixels itereren. Hierdoor heeft het algoritme een tijdscomplexiteit van

$$O(2mn) = O(mn)$$

met  $m$  en  $n$  de dimensies van het eiland waarin de barcode gelezen wordt. Het algoritme gaat een keer horizontaal en een keer verticaal over de pixels. Op deze manier kan de barcode in alle mogelijke orientaties van het scherm gelezen worden. Vervolgens worden de HSL waarden van deze pixels bekeken om de overeenkomstige kleur van elke pixel te achterhalen. Wanneer een HSL waarde binnen de gewenste range valt, wordt het overeenkomstig cijfer opgeslaan in een lijst. Bij het bereiken van een witte lijn weet het algoritme dat het aan het einde van het patroon is. Wanneer dit het geval is, wordt het inlezen van de volledige vijfcijferige code gecontroleerd op volledigheid. Zo niet, wordt de lijst leeg gehaald en zoekt het algoritme verder. Het herhalend patroon is dus essentieel aan het correct inlezen van de barcode. Een groter aantal herhalingen stemt overeen met een hogere kans op mogelijke detectie, maar stemt ook overeen met een kleinere oppervlakte per herhaling. Deze kleinere oppervlakte is dan weer nadelig voor detectie. Aangezien hiermee de kans stijgt dat een kleur niet gedetecteerd wordt. Nadat het algoritme over alle pixels geweest is, wordt de ratio berekend tussen de code die het meeste keer gelezen is en de totale aantal codes die zijn gelezen. Deze ratio bepaalt dan of de code, die door de horizontale iteratie of door de verticale iteratie het meest gelezen is, gebruikt wordt.



Figuur 8: Scherm met randen en kruis voor detectie met barocde erachter voor identificatie.

## 5.2 Verdere verbeteringen

Zoals reeds vermeld in 3.1.3 is het individueel dedecteren van zoveel verschillende kleuren geen goed idee. Dit is dan ook de reden dat andere opties reeds bekeken worden. Zoals ook reeds vermeld zou een eerste optie zijn om te kijken naar het contrast tussen de opeenvolgende kleuren in plaats van de kleuren apart te dedecteren. Een andere optie die bekeken wordt is het overschakelen naar een zwart-wit barcode waarbij gebruik gemaakt wordt van het contrast tussen zwart en wit. Een andere mogelijke verbetering is het aantal herhalingen afhankelijk maken van de grootte van het scherm. Dit heeft als voordeel dat het aantal herhalingen geoptimaliseerd is voor de grootte van het scherm.

voor image-show

## 6 Transformatie voor image-show

Alle schermen moeten een deel van een foto weergeven. Echter doordat de schermen drie-dimensionaal gedraaid zijn, moet de weer te geven foto getransformeerd worden. De afbeelding moet namelijk vanuit perspectief twee-dimensionaal zijn afgebeeld. Het gebruikte algoritme gaat vier bron- en bestemmingshoeken gebruiken als invoer om tot een transformatie-matrix te komen. Deze matrix wordt gebruikt om later met *image3d* transform een snelle transformatie op een canvaselement mogelijk te maken.

### 6.1 transformatiematrix

De vier bron- en bestemmingshoeken zijn respectievelijk de start- en eindhoeken. Er zal per lijst van hoeken een matrix worden berekend nadat de coëfficiënten berekend zijn geweest.  $(x_i, y_i)$  zijn de hoekpunten,  $i = 1..4$  voor de start-hoeken en  $i = 5..8$  voor de eind-hoeken. [?]

$$\begin{bmatrix} x_1 & x_2 & x_3 \\ y_1 & y_2 & y_3 \\ 1 & 1 & 1 \end{bmatrix} \begin{bmatrix} \lambda \\ \mu \\ \tau \end{bmatrix} = \begin{bmatrix} x_4 \\ y_4 \\ 1 \end{bmatrix}$$

$$\begin{bmatrix} \lambda \\ \mu \\ \tau \end{bmatrix} = \begin{bmatrix} x_1 & x_2 & x_3 \\ y_1 & y_2 & y_3 \\ 1 & 1 & 1 \end{bmatrix}^{-1} \begin{bmatrix} x_4 \\ y_4 \\ 1 \end{bmatrix}$$

Daarna wordt de 3x3 matrix geschaald met de gevonden coëfficiënten.

$$\begin{bmatrix} \lambda x_1 & \mu x_2 & \tau x_3 \\ \lambda y_1 & \mu y_2 & \tau y_3 \\ \lambda & \mu & \tau \end{bmatrix}$$

De twee matrices A en B, respectivelijk met de bron- en bestemmingshoeken, worden gebruikt om de transformatiematrix te berekenen.

$$C = AB^{-1}$$

C is de transformatiematrix, deze wordt later gebruikt om de *matrix3d* op te stellen. [?]

$$\begin{pmatrix} C_{0,0} & C_{0,1} & 0 & C_{0,2} \\ C_{1,0} & C_{1,1} & 0 & C_{1,2} \\ 0 & 0 & 1 & 0 \\ C_{2,0} & C_{2,1} & 0 & C_{2,2} \end{pmatrix}$$

voor image-show

## 7 Triangulatie

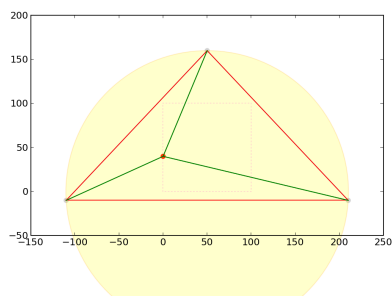
Wanneer de schermen herkent en geïdentificeerd zijn, worden ze aan elkaar gelinkt door middel van een triangulatie. Het project gebruikt een Delaunay triangulatie. Dit is een speciale vorm waarbij de kleinste hoek gemaximaliseerd wordt en waarbij de driehoeken niet overlappen. [5] Er wordt gebruik gemaakt van het Bowyer-Watson algoritme. [6] Het heeft een tijdscomplexiteit van  $O(n^2)$ , dit is zeker niet de beste complexiteit om een Delaunay triangulatie te berekenen. Aangezien in de toepassing maximaal 120 schermen gebruikt kunnen worden, voldoet  $O(n^2)$ . Met de eenvoudige implementatie is dit dan ook een voordehandliggende keuze.

### 7.1 Bowyer-Watson

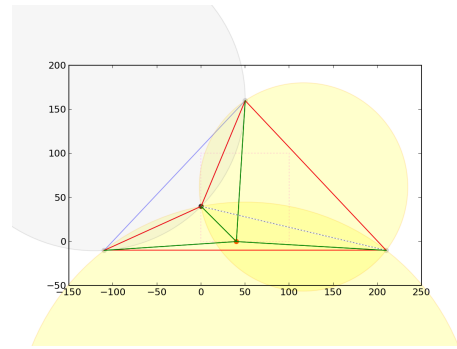
Bowyer-Watson gaat er van uit dat punten enkel worden toegevoegd in een al bestaande Delaunay triangulatie. Als eerste worden er twee superdriehoeken gezocht. Deze driehoeken zullen alle te trianguleren punten bevatten. De implementaties waarop het algoritme is gebaseerd [6] [7] stelden beiden een ‘superdriehoek’ voor, zie figuur 9a. Echter is het eenvoudiger om een omkaderende vierhoek te vormen en deze op te delen in twee driehoeken. Vervolgens worden alle punten één voor één toegevoegd.

Voor elk punt worden alle driehoeken gezocht waarvan het punt in de omschreven cirkel zit. Wanneer twee driehoeken eenzelfde zijde delen, wordt deze verwijderd. Alle punten van de omschreven veelhoek van de twee driehoeken worden nu verbonden met het toegevoegde punt, zie figuur 9b. Met deze werkwijze zal er op elk moment een Delaunay triangulatie zijn en moeten de driehoeken achteraf niet meer overlopen worden. Met het gevolg dat het data management voor deze methode minder complex is.

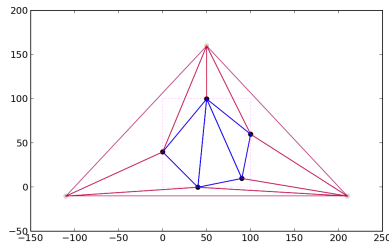
Eens alle punten toegevoegd zijn, worden de driehoeken die één of meer hoeken van de omkaderende vierhoek bevatten verwijderd, zie figuur 9c. Aangezien deze driehoeken aan de buitenkant liggen is dit toegestaan. Er zal een Delaunay triangulatie overblijven van alle onderzochte punten.



(a) De rode superdriehoek waarin alle punten zullen worden toegevoegd.



(b) Een nieuw punt wordt toegevoegd. In geel de omschreven cirkels. De gestippelde zijde wordt verwijderd, de groene toegevoegd.



(c) In rood alle driehoeken verbonden met de superdriehoek, deze worden uiteindelijk verwijderd.

Figuur 9: Het Bowyer-Watson algoritme [6]



Figuur 10: Van colineaire punten kan geen triangulatie gevonden worden.



Figuur 11: Van bijna colineaire punten kan geen triangulatie gevonden worden door afrondingsfouten bij berekeningen.

## 7.2 Valkuilen

In theorie kan er van elke opstelling waarbij de punten niet allemaal colineair zijn een triangulatie worden gevonden, zie figuur 10. Echter door afronding bij de berekeningen zal er bij bijna colineaire punten geen juiste configuratie gevonden worden, zie figuur 11.

# 8 Animation

## 8.1 Sprites

De animatie van de kat wordt bekomen door het snel achter elkaar tekenen van delen van een sprite sheet. Deze sheet bevat in dit geval 8 frames, zie figuur 12. De breedte van de sheet zal door het aantal frames worden gedeeld om zo met een "draw"methode elke deel apart en achter elkaar te displayen. Op deze manier creëert men de illusie van beweging op een zeer simpele manier. In dit geval loopt de kat naar rechts maar met een spiegel methode kan de andere richting bekomen worden.



Figuur 12: Kat sprite sheet [8]

## 8.2 Delaunay

Voor de animatie wordt gebruik gemaakt van de reeds geschreven delaunay triangulatie. Deze zal het pad vormen waarover de kat zal lopen. Wanneer de kat zich dicht genoeg bij het endPoint bevindt zal deze de firstPoint worden en zullen de burens ervan opgevraagd worden. Er zal willeukeurig een punt worden gekozen als nieuw endPoint. Dit punt kan niet het firstPoint van de vorige beweging zijn. Dit wil zeggen dat de animatie nooit terug op zijn stappen komt. Enkel als de triangulatie een rechte lijn vormt zal de sprite op en neer lopen.



## Referenties

- [1] Edgar Chavolla, Daniel Zaldivar, Erik Cuevas, and Marco Cisneros. *Color Spaces Advantages and Disadvantages in Image Color Clustering Segmentation*, pages 3–22. 01 2018.
- [2] Amir Rasouli and John K Tsotsos. The effect of color space selection on detectability and discriminability of colored objects. *arXiv preprint arXiv:1702.05421*, 2017.
- [3] Shun-Hung Tsai and Yu-Hsiang Tseng. A novel color detection method based on hsl color space for robotic soccer competition. *Computers Mathematics with Applications*, 64(5):1291 – 1300, 2012. Advanced Technologies in Computer, Consumer and Control.
- [4] Flood fill. [https://en.wikipedia.org/wiki/Flood\\_fill](https://en.wikipedia.org/wiki/Flood_fill). geraadpleegd okotber 2019.
- [5] Delaunay triangulation. [https://en.wikipedia.org/wiki/Delaunay\\_triangulation](https://en.wikipedia.org/wiki/Delaunay_triangulation). Geraadpleegd november 2019.
- [6] Bowyer-watson algorithm. [https://en.wikipedia.org/wiki/Bowyer%E2%80%93Watson\\_algorithm](https://en.wikipedia.org/wiki/Bowyer%E2%80%93Watson_algorithm). Geraadpleegd okotber 2019.
- [7] S.W. Sloan and G.T. Hounsby. An implementation of watson’s algorithm for computing 2-dimensional delaunay triangulations. Technical report, Department of Civil Engineering, University of Newcastle and Department of Engineering Science, University of Oxford, 1984. Geraadpleegd november 2019.
- [8] Kat sprite sheet. <https://docs.coronalabs.com/guide/media/spriteAnimation/index.html>. Geraadplaagd december 2019.